

# 论文

Fast, Interactive Origami Simulation using GPU Computation

## 2 Simulation Methods

### 2.1 Meshing

任务：将折痕离散化为三角面片。

面片中有三种折痕：

1. facet crease

人为添加的折痕，折纸被折起来时仍然保持平整。添加这些折痕的原因是为了将边大于3的面片拆分成三角面片。

2. mountain crease

折纸被折起来时向外凸出的折痕（论文中以红色表示）

3. valley crease

折纸被折起来时向内凹的折痕（论文中以蓝色表示）

2.3节中的目标折叠角度的正负利用这里的三种折痕来构建。

在最后得到的模型的mesh中，每个edge都被当成一个销连接桁架中的梁。

而每一根销连接桁架中的梁都被建模为线性弹簧，受到轴向和角度的约束。

### 2.2 Axial Constraints

轴向约束：避免纸张伸长、收缩

通过计算每根梁轴向上的力（局部坐标），再转换为全局坐标上的力，最后施加到node上来实现轴向约束。

根据胡克定律和chain rule:

$$\vec{F}_{axial} = -k_{axial}(l - l_0) \frac{\partial l}{\partial \vec{p}}$$

$\vec{k}_{axial}$ ：梁的轴向胡克系数

$\vec{p}$ ：node的位置

$l$ ：梁当前长度

$l_0$ ：梁的原长

每根梁的两个node:

$$\frac{\partial l}{\partial \vec{p}_1} = -\hat{I}_{12}, \frac{\partial l}{\partial \vec{p}_2} = \hat{I}_{12}$$

$\hat{I}_{12}$  : 从 *node1* 到 *node2* 的 *unit vector*

$p_1$  : *node1* 在全局坐标中的 *3D* 位置。

对于胡克系数:

$$k_{axial} = \frac{EA}{l_0}$$

其中  $E$  是 杨氏模量,  $A$  是 梁的横截面, 在这里为了方便计算就把  $EA$  看做 常量

于是每根梁的胡克系数只与自己的原长有关。

## 2.3 Crease Constraints

增加对二面角的约束, 来完成、约束折叠

角度约束: 建模为线性弹性扭转弹簧 (linear-elastic torsional springs), 将相邻三角形面朝着某个目标折叠  
角度驱动

$$\vec{F}_{crease} = -k_{crease}(\theta - \theta_{target}) \frac{\partial \theta}{\partial \vec{p}}$$

$\vec{F}_{crease}$  : 全局坐标中的 *3D* 力向量

$\theta_{target}$  : 目标折叠角

$\vec{p}$  : *node* 位置

$k_{crease}$  : 约束的刚性 (*stiffness*)

这里的 *stiffness* (也就是  $K_{crease}$ ) 受 2.1 中提到的折痕的种类的影响:

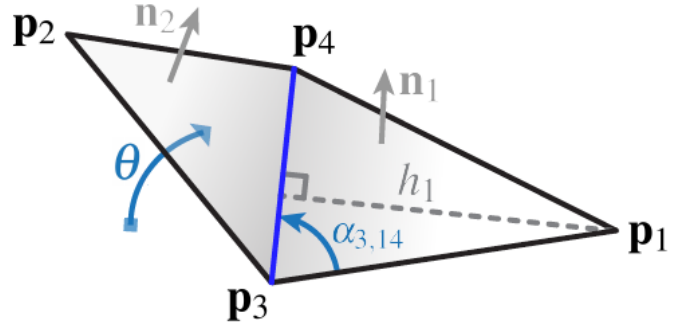
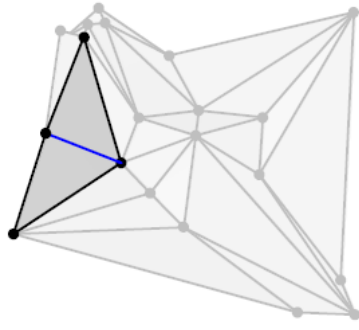
$$k_{crease} = \begin{cases} l_0 k_{flood} & \text{mountain or valley crease} \\ l_0 k_{facet} & \text{facet crease} \\ 0 & \text{boundary edge or undriven crease} \end{cases}$$

论文中提到这里通过选择 *stiffness* 来使得 (初步猜想是使得轴向约束远大于角度约束)

$$k_{axial} \gg k_{flood}, k_{axial} \gg k_{facet}$$

目标折叠角度和折痕种类也是有关的 (这个关系比较符合常理)

$$\theta_{target} = \begin{cases} < 0 & \text{mountain crease} \\ > 0 & \text{valley crease} \\ 0 & \text{facet crease} \end{cases}$$



**Figure 3:** *Formulation of crease constraints.*

每个角度约束会给4个node施加力（角度和nodes如上图）

$$\begin{aligned}\frac{\partial \theta}{\partial \vec{p}_1} &= \frac{\vec{n}_1}{h_1}, \\ \frac{\partial \theta}{\partial \vec{p}_2} &= \frac{\vec{n}_2}{h_2}, \\ \frac{\partial \theta}{\partial \vec{p}_3} &= \frac{-\cot \alpha_{4,31}}{\cot \alpha_{3,14} + \cot \alpha_{4,31}} \frac{\vec{n}_1}{h_1} + \frac{-\cot \alpha_{4,23}}{\cot \alpha_{3,42} + \cot \alpha_{4,23}} \frac{\vec{n}_2}{h_2}, \\ \frac{\partial \theta}{\partial \vec{p}_4} &= \frac{-\cot \alpha_{3,14}}{\cot \alpha_{3,14} + \cot \alpha_{4,31}} \frac{\vec{n}_1}{h_1} + \frac{-\cot \alpha_{3,42}}{\cot \alpha_{3,42} + \cot \alpha_{4,23}} \frac{\vec{n}_2}{h_2}\end{aligned}$$

$\alpha_{1,23}$  : 以  $p_1$  为顶点,  $p_2, p_3$  分别在两边的角  
 $h_1, h_2$  : 以  $p_1, p_2$  为顶点的高

## 2.4 Face Constraints

随着三角面片逐渐扁平，轴向约束越小。然而随着三角形形变，面约束带来的力却越来越大。

仅使用梁和折痕的约束（就是轴向约束和角度约束），就可以进行折叠的模拟了。然而这样的模拟会有折叠的表面剪切的问题。论文作者通过实践发现增加面约束可以增加模拟的稳定性。

面约束也之前的约束一样，被建模为线性弹性弹簧。

$$\vec{F}_{face} = -k_{face}(\alpha - \alpha_0) \frac{\partial \alpha}{\partial \vec{p}}$$

$\alpha$  : 当前角度

$\alpha_0$  : 初始（还是 *flat* 状态的时候）状态下的角度

$\vec{k}_{face}$  : 是面约束的刚性 (*stiffness*)

$\vec{p}$  : 这里的  $p$  是指邻接的 *node* 的位置

偏导数公式:

$$\begin{aligned}\frac{\partial \vec{p}_1}{\partial \alpha_{2,31}} &= \frac{\vec{n} \times (\vec{p}_1 - \vec{p}_2)}{\|\vec{p}_1 - \vec{p}_2\|^2} \\ \frac{\partial \vec{p}_2}{\partial \alpha_{2,31}} &= -\frac{\vec{n} \times (\vec{p}_1 - \vec{p}_2)}{\|\vec{p}_1 - \vec{p}_2\|^2} + \frac{\vec{n} \times (\vec{p}_3 - \vec{p}_2)}{\|\vec{p}_3 - \vec{p}_2\|^2} \\ \frac{\partial \vec{p}_3}{\partial \alpha_{2,31}} &= -\frac{\vec{n} \times (\vec{p}_3 - \vec{p}_2)}{\|\vec{p}_3 - \vec{p}_2\|^2}\end{aligned}$$

## 2.5 Numerical Integration

这部分显式的计算了在轴向约束和角度约束下node的小位移，也是本篇论文的创新点。

一个node受到的总的力：

$$\vec{F}_{total} = \sum_{beams} \vec{F}_{beam} + \sum_{creases} \vec{F}_{crease} + \sum_{faces} \vec{F}_{face}$$

于是得到该node的加速度（三维）：

$$\vec{a} = \frac{\vec{F}_{total}}{m}$$

在论文的推导过程中，将m假定为1，在真正模拟时，选用更加准确的质量值应该可以获得更加真实的力学模拟效果。

计算node的速度和位置时使用了显式欧拉法（就是模拟单摆时用的第一种方法）

$$\begin{aligned}\vec{v}_{t+\Delta t} &= \vec{v}_t + \vec{a}\Delta t, \\ \vec{P}_{t+\Delta t} &= \vec{P}_t + \vec{v}_{t+\Delta t}\Delta t\end{aligned}$$

对于步长的选择，为了使得模拟过程能够保持稳定，需要满足

$$\Delta t < \frac{1}{2\pi\omega_{max}},$$

$\omega_{max}$ ：模型中所有约束中的最大固有频率

由于  $k_{axial} \gg k_{flood}, k_{axial} \gg k_{face}$ ，所以

$$\omega = \sqrt{\frac{k_{axial}}{m_{min}}},$$

$m_{min}$ ：一个beam中质量较小的node的重量

同时给定初始值：

$$\vec{v}_0 = \vec{0}$$

为了能够在有限的迭代中得到稳定的状态，在邻接的vertices中加入了粘性阻尼：

$$\begin{aligned}\vec{F}_{damping} &= c(\vec{v}_{neighbor} - \vec{v}), \\ c &: \text{粘性阻尼系数}\end{aligned}$$

使用这种方法来计算可以帮助你减少对浮点数的计算。

论文作者发现即使使用了严格的阻尼，在全局状态下仍然会有欠阻尼现象。

使用更加精确的阻尼和使用更精确的质量一样，都可以得到更加真实的力学模拟效果。

$$c = 2\zeta\sqrt{k_{axial}m}$$

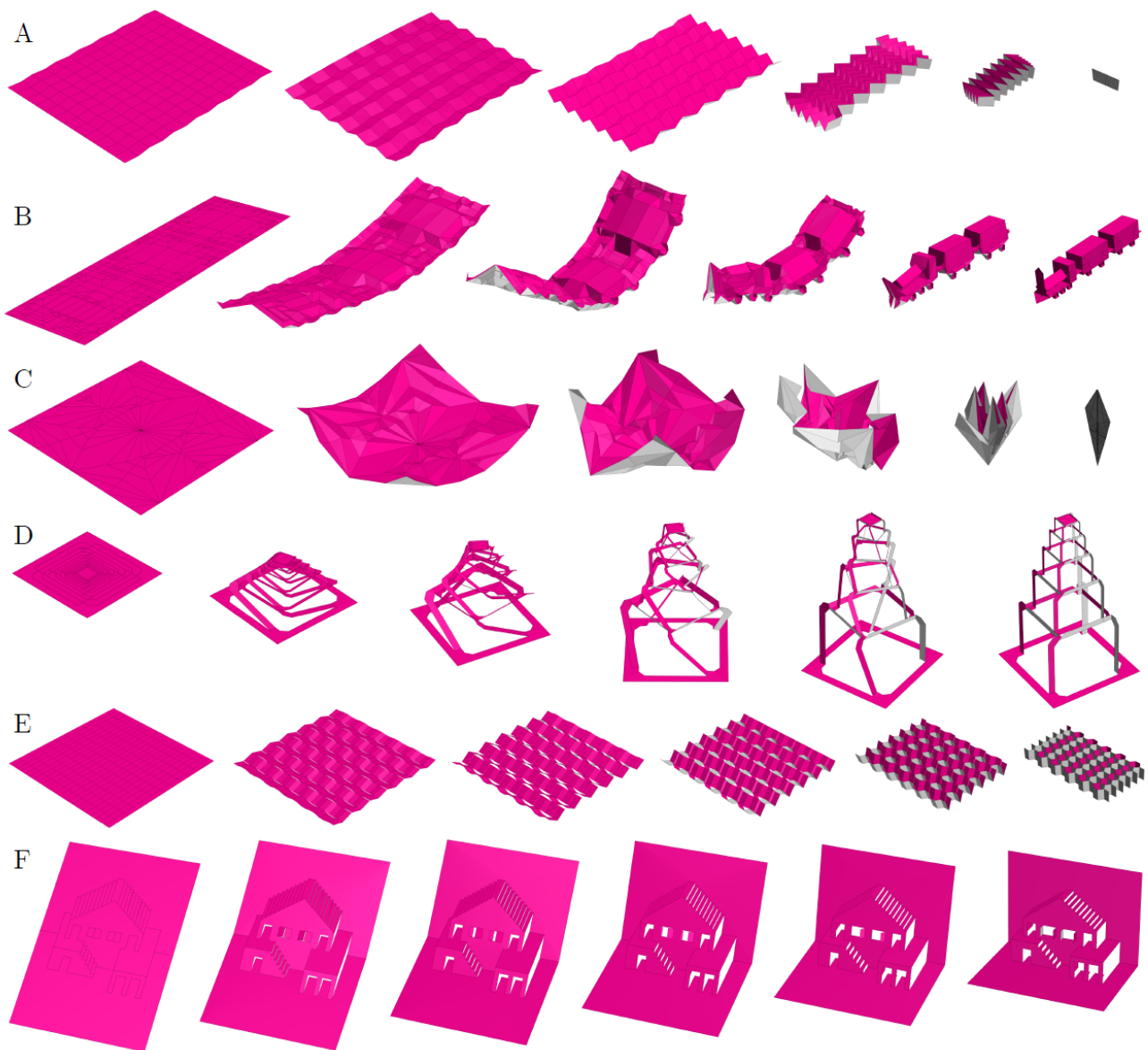
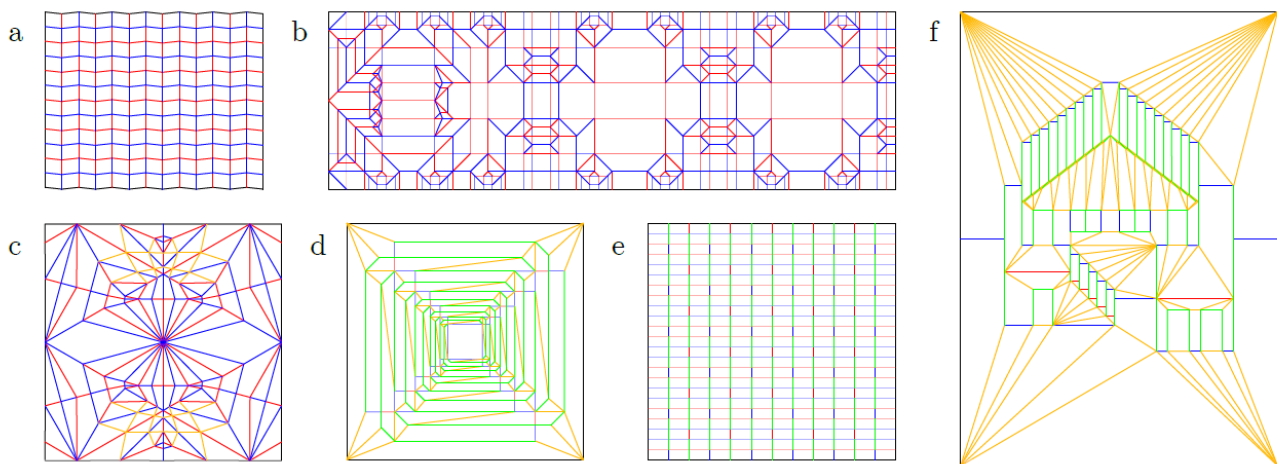
$\zeta$ ：阻尼系数，较为合适的值为： $0.01 \leq \zeta \leq 0.5$

$m$ ：质量，在推导中选用1作为 $m$ 的值

## 3 Implementation

---

论文作者实现了一个开源的web应用，也就是 [Simulator](#)



demo中，上文提到的常量选取的数值为：

1.  $EA = 20$
2.  $k_{flod} = 0.7$
3.  $k_{facet} = 0.7$
4.  $k_{face} = 0.2$

在求解器开始工作之前，需要预计算：

1. stiffness和damping之间的关系
2. 构建一个elements之间几何关系的查找表。

在GPU (WebGL) 中，模拟的每一次更新需要进行的计算：

1. 并行计算mesh中所有三角面片的表面法矢
2. 并行计算mesh中所有边的当前折叠角度
3. 并行计算mesh中所有边在2.3节中最后4个公式中的系数
4. 并行计算mesh中所有node的力和速度
5. 并行计算mesh中所有node的位置

作者提到，如果使用NVIDIA CUDA之类的GPU框架的话，可以使用更少的步骤完成上述操作。

在给定的在线模拟器中，多次更新 (specified number of simulation steps) 之后才会更新一次几何形状。

### 3.1 Strain Visualization

将纸张的张力可视化出来，帮助用户理解纸张的几何结构。

### 3.2 User Interaction

这里提到了VR交互以及后续希望添加的功能。

两部分都是在Web应用中加入的feature，和原理无关所以此处略去。